вых сплавов и корунда возрастает. Она возрастает также при увеличении скорости резания и подачи.

Исследование показало, что режущие инструменты из синтетического корунда подвергаются выкрашиванию, причем интенсивность выкрашивания усиливается при форсировании режимов резания.

Таким образом, несмотря на специфические особенности снитетического корунда, контактные процессы, протеклющие на передней и задней поверхностях режущего кристалла, схожи с контактными явлениями, происходящими на поверхностях резцов и фрез, оснащенных алмазами, композитами и другими инструментальными материалями.

JIHTEPATYPA

- Арауканан А. М. Определение оптимальной геомстрии режущего инструмента по составляющим сил резаити и по пероховатаети обработанной поверхности//Тез. 16 ой рази. п.--т. конф. исп. общ. аспирантуры,—Ереван. 1979.—С. 4—7.
- Леакол Л. А., Хачатрян Г. Г. Киракосин Э. М. О применения рубиновых резцовпри точком придолегом точение илетиск металлов//Вестикк млинностроения. 1971.—№ 7.—С. 71—72.
- 3 Азиков А. А., Хачитрян I. Г. Стонкость рубиновых резков в зависимости от ориентации криставлов корупа»//Вестину машиностроении, 1972.— 7. С. 72 73.
- 4 Араджалян 1. М. Тонкан прерывнотая обработка цвотных металлов режущими пластинками на синтетического корунда, дібора, гексинята и алмаза//Вастинк мащиностроення.—1981.—№ 4.—С. 55—56.
- Лолидзе Т. Н. Прочность и износостойкость режучего инструмента. Машиностроение, 1982.—320 с.

Леп фил. ЕрИИ

16 XII,1990

Изв. АН Армения (сер. ТН), т. XLV, № 1-2, 1992, с. 116.

МАШИНОСТРОЕНИЕ

УДК 539.214

А. А. ГРИГОРЯН

ТЕЧЕНИЕ ПЛАСТИЧЕСКИ НЕОДНОРОДНОЙ МАССЫ МЕЖДУ ШЕРОХОВАТЫМИ КОНИЧЕСКИМИ ПОВЕРХНОСТЯМИ

Рассматривается течение несжимаемого вдеального пластически неоднородного, жесткоиластического материала между двумерно шероховатыми коническими поверхностями при их сближении с полеречными скоростями, наменяющимися по экспоненциальному закону по кольцевой координате. Показано, что неоднородность приводит к существенному увеличению силы давления на контактную новерхность в сравнении с однородным материалом.

Ил. 3. Библиогр. 7 назв.

Դիտարկվում է իդևալական կոշտ պլասաիկ, տնանդմելի և անհամաներ նյունի հոսու-Խությունը կոնական երկչափ անհարթ մակերևույթների միջն, ծրբ ծրանր մոտենում են իրար ըստ շրջանագծային կոորդինասի աստիճանական օրենրով փոփոխվող լայնական արագություններով։ Ցույց է արված, որ անհամասեղությունը համեմատաձ համասեղ նյութի հետ հանգերևում է հայման մակերևույթի վրա հնչման ուժի մեծացմանը։ Пластическое течение материала между шероховатыми жёсткими плитами в условиях илоской деформации впервые рассмотрено в [1], а последующее развитие теория течения идеально пластического материала по жёстким поверхностям получила в [2—7]. Задача о течении пластического материала между коническими поверхностями ппервые исследована в [2,3]. Здесь конические поверхности приняты шероховатыми в кольцевом направлении и движутся с постоянными поперечными скоростями. В статьях [5—7] приведены решения задач о пластическом слое и клине с учетом неоднородности материала.

В настоящей работе рассматривается течение несжимаемого идеального пластически-неоднородного, жестко-пластического материала между двумерно шероховатыми коническими поверхностями при их сближении с поперечинми скоростями, изменяющимися во экспоненциальному закону по кольценой координате [4]. Примем

$$v = v_i r e^{-\mu i \omega t}$$
 upu $\theta = a_i$ $v = -v_i r e^{-\mu i \omega t}$ upu $\theta = b$.

где $v_{\rm c}$, μ — заданные положительные постоянные. В силу симметрии рассматриваем область $0 = \phi \leqslant \phi_0$ (рис. 1).

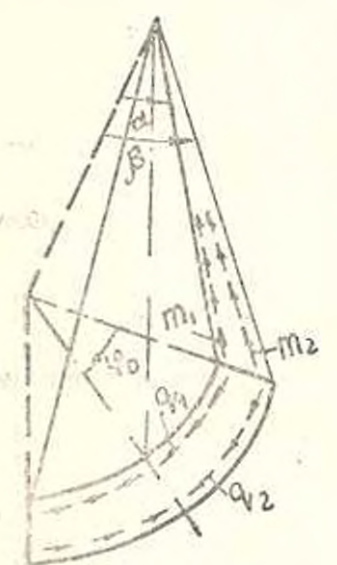


Рис. 1.

Соотношения теории идеального жесткопластического течения в сферических координатах в обычных обозкачениях имеют следующий вид:

а) дифференциальные уравнения равнонесия—

$$\frac{\partial z_r}{\partial r} = \frac{1}{r} \frac{\partial z_{r\theta}}{\partial \theta} + \frac{1}{r \sin \theta} \frac{\partial z_{r\theta}}{\partial \theta} + \frac{1}{r \sin \theta} \frac{\partial z_{r\theta}}{\partial \theta} + \frac{1}{r \sin \theta} \frac{\partial z_{r\theta}}{\partial z} + \frac{1}{r \sin \theta} \frac{\partial z}{\partial z} + \frac{1}{r \sin \theta} \frac{\partial z_{r\theta}}{\partial z} + \frac{1}{r \sin \theta} \frac{\partial z_{r\theta}$$

 б) зависимости между компонентами скоростей деформаций, наиряжений и скоростей перемещений—

$$\epsilon_{ij} = i \cdot (z_{ij}) \qquad \frac{\partial u}{\partial r} \qquad -\epsilon - \frac{u}{r} - \frac{1}{r} \frac{\partial v}{\partial \theta} \qquad (2)$$

$$= \frac{1}{r \sin \theta} \frac{\partial w}{\partial \phi} - \frac{u}{r} - \frac{v}{r} \operatorname{ctg} \theta, \quad 2\gamma_{ri} = \frac{1}{r \sin \theta} \frac{\partial u}{\partial \phi} + \frac{w}{\partial r} - \frac{w}{r}$$

$$2 = \frac{1}{\partial r} \frac{\partial u}{r} + \frac{1}{r} \frac{\partial u}{\partial \theta}, \quad 2\tau_{\star} = \frac{1}{r} \frac{\partial w}{\partial \theta} - \frac{w}{r} \cot \psi + \frac{1}{r \sin \theta} \frac{\partial w}{\partial \phi}$$

в) условие пластичности Губера - Мизеса -

$$(\sigma_r - \sigma_q)^2 + (\sigma_q - \tau_r)^2 + (\sigma_r - \sigma_r)^2 + 6\tau_r + \tau_{rq}^2) = 6K^2(r, \theta), \quad (3)$$

Здесь $K(r, \theta)$ функция, характеризующая пеоднородность материала. Компоненты наприжений и функция $K(r, \theta)$ отнесены к постоянной K, имеющей размерность напряжений.

В рассматринаемой залаче принимается, что пластические свойства меняются только по толшине слоя: $K(r, \theta) = \omega(\theta)$, гле $\omega(0)$ — безразмерная пеличина, определяемая из эксперимента.

Возникающие в конических поверхностях касательные инпряжения принимаем заданными

$$\tau_{0^{2}} = 0$$
 при $\theta = \alpha$, (4)
$$\tau_{0^{2}} = 0$$
 при $\theta = \beta$, $m_{i} + q_{i}^{2} < 1$.

Компоненты напряжения и скорости перемещения представим в

$$\frac{1}{2} = \frac{1}{2} = \frac{1$$

где f и θ — произвольные функции, зависяцие от θ , а ρ . A , D — произвольные постоянные интегрирования.

Выражения напряжения (5) и скорости неремещения (7) являются решениями уравнений (1)—(3), если определены функции (и ф из системы следующих дифференциальных уравнений:

$$\left[\begin{array}{c} \frac{\sin\theta}{\Omega} \left(f'+f\operatorname{ctg}\theta+\mu\psi\right)'\right] + \frac{6\sin\theta}{\Omega} \left(f'+f\operatorname{ctg}\theta+\mu\psi\right) + M\sin\theta = 0.$$

$$\left[\frac{\omega \sin^3 \theta}{\Omega} \left(\psi' \sin \theta + \frac{\mu f}{\sin \theta} \right) \right]' - \frac{\mu \omega \sin \theta}{\Omega} \left(f' + f \cot \theta + \mu \psi \right) + \frac{A}{3} \sin \theta = 0$$

нля с учетом представления (6) -

$$(-a_0 \sin \theta)' = \frac{6}{a_0} - a_0 \sin^2 \theta + M \sin \theta = 0,$$

$$(\tau_{\theta \theta} \sin^2 \theta)' = 3\tau_{\theta \theta} \sin^2 \theta + A \sin \theta = 0.$$

Отсюда, исключая т, и проинтегрировав полученное дифферевдиальное соотношение с учетом граничных условий (4) и обозначения.

$$A = B - \frac{1}{2} p M, \quad B = \frac{q_1 \sin^2 x + q_2 \sin^2 \theta + \frac{1}{2} p (m_1 \sin x + m_2 \sin \theta)}{\cos x - \cos x^2}.$$
 (9)

$$C = \frac{q_1 \sin^2 \alpha \cos \beta + q_2 \sin^2 \beta \cos \alpha + \frac{1}{2} \mu(m_1 \sin \alpha \cos \beta + \sin \beta \cos \alpha)}{\cos \alpha - \cos \beta}$$

получим

$$s = c - \frac{\mu}{2\sin\theta} x, \qquad \tau = \frac{B\cos\theta - C}{\sin^2\alpha} \tag{10}$$

где

$$v_{ao} = s, \qquad v_{ao} = x, \tag{11}$$

Введем новую функцию $F(\theta)$

$$f' = F - f \operatorname{ctg} \theta - \mu. \tag{12}$$

и, исключив из выражения Ω в (6) производные f , F' и Y, при помощи соотношений

$$F = x^{\Omega}, \qquad W = \frac{s}{3} \frac{\Omega}{\sin \theta} - \frac{\mu f}{\sin^2 \theta}, \qquad (13)$$

получим

$$Q = \frac{2\sqrt{3}}{\sqrt{1 - x^2 - x^2}} \times$$

$$\times \sqrt{\left(1+\frac{\mu}{12\sin^2\theta}\right)F^2+3\left(f\operatorname{ctg}\theta+\mu\psi\right)\left(f\operatorname{ctg}\theta+\mu\psi-F\right)}.$$

Из первого уравнения (8) следует

$$x = x \operatorname{ctg} \theta - 6 \frac{\omega}{\Omega} F. \tag{1}$$

Для определения функций f, F, x, ϕ из системы дифференциальных уравнений (12)—(14) имеем граничные условия

$$f(z) = -v_1/3$$
, $f(\beta) = v_2/3$, $z(z) = m_1$, $z(\beta) = -m_2$. (15)

Определив эти функции, найдем две компоненты напряжения (11), а встальные компоненты напряжения и скорости перемещения примут следующий вид:

$$\sigma_{t} = \sigma_{t} - \frac{1}{2} \left(F - f \operatorname{ctg} \theta - u \right), \qquad \sigma_{t} = \frac{1}{2} \left(\frac{1}{2} \operatorname{ctg} \theta - 2\mu_{t} \right),$$

$$\sigma_{t} = -\mu_{t} - A \left(\frac{1}{2} \operatorname{ctg} \theta - u \right) + 6 \int_{0}^{\theta} \left(F - 2f \operatorname{ctg} \theta - 2\mu_{t} \right) - \operatorname{ctg} \theta d\theta - 3 \int_{0}^{\theta} u d\theta,$$

$$\sigma_{t} = -\mu_{t} - \frac{wF}{2 \sin \theta}.$$

$$(16)$$

$$u = rFe^{-\mu \tau}$$
, $v = -3rfe^{-\mu \tau}$, $w = 3r \circ \sin \theta e^{-\mu \tau} + \frac{r}{\mu} r \sin \theta$. (17)

Давление на контактной поверхности $\theta=\alpha$ на единицу длины вдоль г будет

$$P = -2r\sin z \int_{0}^{z} (a_{0}\cos \varphi - \sin \varphi)_{\beta=z}^{1} dz$$

$$= 2r\sin z \left[p_{1}\sin \varphi_{0} + (1 - \cos \varphi_{0})(A - q_{1}) \right],$$

Из условия сохранения количества масс

$$\int_{0}^{\pi} \left[v(r, z, z) \sin z - v(r, z, z) \sin \beta \right] r dr dz =$$

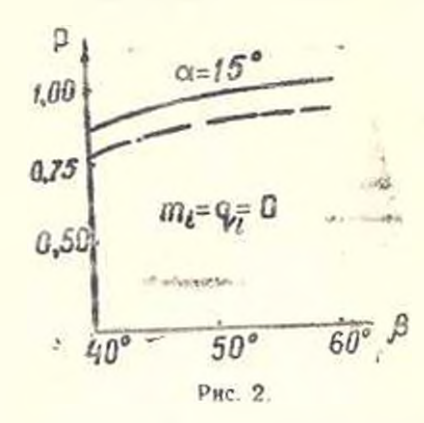
$$= \int_{0}^{\pi} \int_{0}^{\pi} u r^{2} \sin z + \int_{0}^{\pi} w^{2} \int_{0}^{\pi} r d\theta dr,$$

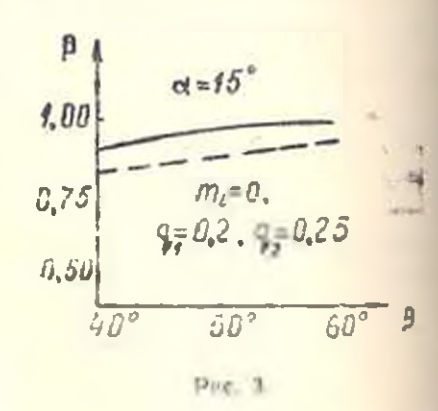
водставии выражения компонент скорости перемещения в (17), определия

$$D = \frac{1}{\cos \alpha + \cos \beta} \left(-\sin \alpha - \gamma_1 \sin \beta \right) - \frac{1}{\cos \alpha + \cos \beta} \left(-\sin \alpha - \gamma_2 \sin \beta \right) - \frac{1}{\cos \alpha + \cos \beta} \left(-\sin \alpha - \gamma_2 \sin \beta \right) - \frac{1}{\cos \alpha + \cos \beta} \left(-\cos \alpha - \cos \beta \right) \right)$$

Проведено численное решение системы дифференциальных уравнений (12)—(14) при граничных условиях (15) для случаев неодногом (11 в 12. 2. 2. 4.2 и шероховатости:

- 1) $m_1 = 0.15$, $q_1 = 0.2$, $m_2 = 0.2$, $q_2 = 0.25$;
- 2) $m_1 = 0.15$, $q_1 = 0$, $m_1 = 0.2$ (1 = 1, 2):
- 3) $m_i = 0$, $q_i = 0$! 4) $m_i = 0$, $q_1 = 0.2$, $q_2 = 0.25$.





На рис. 2, 3 приведены графики, из которых можно следать вы под, что неодноролность приводит к существенному учеличению силдавления на контактной поперхности $\theta = z$ в сраинении с однородным случаем.

ЛИТЕРАТУРА

- 1. Prandtl L. Anvendugsbelspiele zu einen Henckysten Satz über das plastich Gleichgewicht//Z. angew Math. und Mech. 1923. B. S. H. 6 S. 401-406.
- 2. Ивлев Д. Д. Об одном обобщении решения Прандтая для сферического деформированного состояния//Тр. НИИ мат. ВГУ.—Воронеж, 1973.—Вып. 10.—С. 1—3.
- 3. Ершов Л. В., Ивлев Д. Д., Романов Л. В. Современные проблемы механика выпации.—М. Машиностросиие, 1982—144 с.
- 4 Задоян М. А. Пластическое течение конусообразных тел//ПММ -- 1983.—Т. 4 пмл. 2.—С. 209—218. 1960.—Т. 22, № 2.—С. 73—79.
- 5. Курнецов А. И. Задача о неоднородном пластическом слое//Arch. Mech. Stox-
- Григорьев О. Д. Задача Пранатля для амизотропного неоднородного по толим пластического слоя и равновесне полупространства под действием распри ленной нагрузки // Изв. АН СССР. Инж. журнал. МТТ – 1966. – М 3 — 147—149.
- Апикан Ж. Г., Задоян М. А. Пространственное течение пластически вназотроных клина между жесткими шероховатыми плитами//Изв. АН АрмССР. Мен лика.—1981.—Т. 34, № 3.—С. 39—44.

Ин-т мехапики АН Армении

9. VI. 19